

02:03
©1994

ВЛИЯНИЕ РАЗМЕРА КЛАСТЕРОВ АЗОТА НА ЭЛЕКТРОН-ИНДУЦИРОВАННУЮ ЛЮМИНЕСЦЕНЦИЮ

A.A. Востриков, В.П. Гилева

Электрон-индукционные процессы с участием молекул азота играют важную роль в атмосфере и в различных плазмохимических технологиях. В настоящей работе впервые получены данные о влиянии размера кластеров (N_2); на излучение молекулы $N_2^*(C^3\Pi_u \rightarrow B^3\Pi_g)$ и иона $N_2^{+*}(B^2\Sigma_u^+ \rightarrow X^2\Sigma_g^+)$ при столкновении электронов с кластерами в пересекающихся пучках. Интенсивность излучения I^* , состав молекулярного пучка n^+ и интенсивность пучка J регистрировались соответственно ФЭУ-39А с фильтром, масс-анализатором МС-7303 и ионизационной манометрической лампой, которые последовательно устанавливались на ось соплового молекулярного пучка [1].

На рис. 1 показаны результаты измерения I^* , J , плотности мономеров n_m , среднего размера кластеров i от давления азота в сопловом источнике p_0 (температура $T_0 = 159 \pm 0.5$ К; кривые совмещены при значениях p_0 до начала конденсации в струе), а также зависимости I^* от энергии электронов E_e . Кривая $I_m^*(E_e)$ получена при расширении без конденсации, а $I_c^*(E_e)$ — с конденсацией, $i \approx 250$. Кривые $I^*(E_e)$ при $E_e < 19$ эВ являются функцией излучения $N_2^*(C^3\Pi_u)$, а при $E_e > 30$ эВ — функцией излучения $N_2^{+*}(B^2\Sigma_u^+)$. В области $E_e \approx 19-30$ эВ имеет место суперпозиция этих функций [2]. Кривые $I_m^*(E_e)$ и $I_c^*(E_e)$ совмещены в максимуме интенсивности излучения N_2^* . Кривая $I_1^*(p_0)$ соответствует излучению N_2^* при $E_e \approx 70$ эВ, а кривая $I_2^*(p_0) - N_2^{+*}$ при $E_e \approx 14.5$ эВ.

На рис. 1 показана также функция пропускания оптического фильтра $K(\lambda)$, согласно которой мы могли зарегистрировать излучение, отвечающее следующим колебательным переходам ($v' \rightarrow v''$): $(0 \rightarrow 2, 3)$, $(1 \rightarrow 3, 4, 5)$, $(2 \rightarrow 5, 6)$ 2^+ системы полос молекулы N_2^* и $(0 \rightarrow 0, 1, 2)$, $(1 \rightarrow 1, 2)$ 1^- системы полос иона N_2^{+*} с вкладом, зависящим от сечения возбуждения [3].

Из данных на рис. 1 видно, что кластеры дают вклад в излучение. Этот вклад равен $I_c^* = I^* - I_m^*$, где $I_m^* \sim n_m$ есть

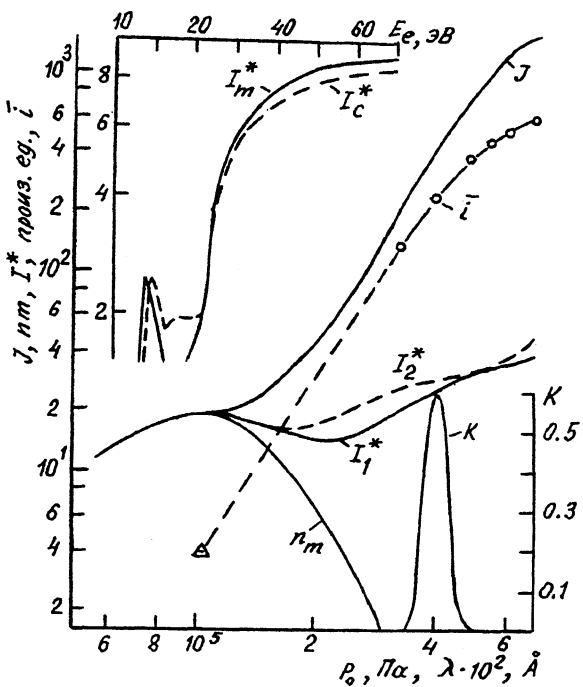


Рис. 1.

излучение мономолекулярной компоненты пучка. Удельная интенсивность излучения в расчете на одну молекулу в кластере размером i есть $\varphi_i = (I^* - I_m^*)/(J - J_m)$, а в расчете на один кластер — $\varphi_i i \sim \sigma_i^*(1 - \theta_i)$, где σ_i^* — сечение образования N_2^* или N_2^{+*} в кластере, а θ_i — вероятность безызлучательного гашения возбуждения.

Используя данные на рис. 1 и учитывая, что зависимость $J_m(p_0)$ практически совпадает с $n_m(p_0)$, были получены зависимости φ_i и $\varphi_i i$ от i . Эти зависимости показаны на рис. 2 для излучения $N_2^*(C^3\Pi_u)$ штриховой линией, а для излучения $N_2^{+*}(B^2\Sigma_u^+)$ — сплошной.

Обсудим вначале особенности, связанные с излучением молекулы N_2^* . На рис. 1 видно, что вид функции излучения $I^*(E_e)$ при переходе от молекул к кластерам практически не изменился. Однако при этом произошел сдвиг максимума этой функции с 14 приблизительно на 14.8 эВ. Отсутствие уширения правого крыла функции $I^*(E_e)$ для N_2^* объясняется тем, что любая потеря энергии электроном при движении в кластере выводит его энергию за пределы функции возбуждения состояния $C^3\Pi_u$. Очевидно, что из-за столь уз-

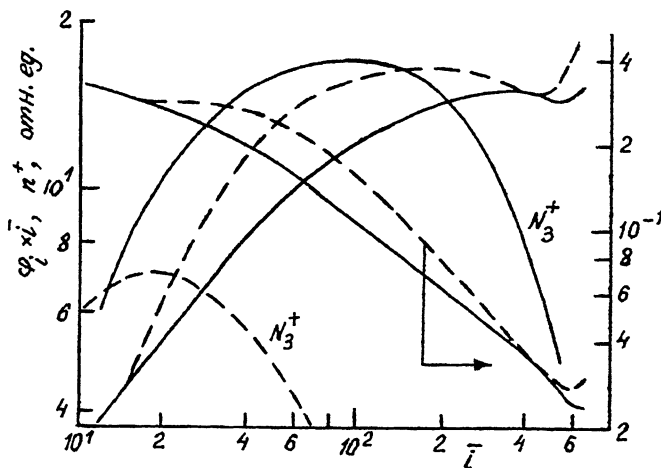


Рис. 2.

кой функции возбуждения сечение возбуждения σ_i^* не может увеличиваться в кластерах быстрее, чем $i^{2/3}$ (геометрическое сечение кластера). Поэтому падение $\varphi_i(\bar{i})$ с ростом \bar{i} на рис. 2 в целом определяется уменьшением удельного сечения σ_i^*/\bar{i} , хотя уже для $\bar{i} < 10$ очевидно включение механизма безызлучательного гашения при столкновении $N_2^*(C^3\Pi_u)$ с $N_2(X^1\Sigma_g^+)$ в кластерах.

Ряд особенностей поведения $\varphi_i(\bar{i})$, которые более отчетливо видны на кривой $\varphi_i(\bar{i})$, заслуживают особого обсуждения. Так, в области $\bar{i} \leq 40$ имеем более сильную, чем $\bar{i}^{2/3}$, зависимость $\varphi_i(\bar{i})$. Это означает, что с увеличением \bar{i} в кластерах возникает и усиливается дополнительное заселение нижних колебательных уровней $N_2^*(C^3\Pi_u, v' = 0.1)$, которые дают основной вклад в регистрируемое нами излучение. Исходя из данных, полученных в [4] для газовой фазы, мы предполагаем, что это заселение происходит вследствие более быстрой колебательной релаксации в кластерах молекул $N_2^*(C^3\Pi_u, v' > 1) \rightarrow N_2^*(C^3\Pi_u, v' \leq 1)$, чем гашение верхних колебательных уровней состояния $C^3\Pi_u$. Если считать, что максимум функции возбуждения $C^3\Pi_u$ смещается пропорционально разнице энергии между колебательными уровнями (для $\Delta v' = 1$, $\Delta\varepsilon = 0.247$ эВ [3]), то релаксация объясняет также сдвиг максимума зависимости $I_c^*(C^3\Pi_u)$ от E_e на рис. 1.

При $i \simeq 180$ зависимость $\varphi_i(i)$ с ростом i достигает максимума и начинает падать. Это означает резкое увеличение вероятности безызлучательного гашения состояния $C^3\Pi_u$, которое мы связываем с ударами второго рода: $(N_2)_i + e \rightarrow N_2^*(C^3\Pi_u)(N_2)_{i-1}^- \rightarrow (N_2)_i + e$. Сечение захвата и стабилизации электрона в исследуемом диапазоне значений E_e резко увеличивается с ростом i [5]. Это объясняется потерей энергии электроном на возбуждение и последующим поляризационным захватом термолизованного электрона в кластере. Но как только число молекул в кластере становится достаточным для формирования вокруг электрона сольватной оболочки без участия N_2^* , вероятность гашения электроном резко падает и зависимость $\varphi_i(i)$ вновь начинает расти.

Функция возбуждения $N_2^{+*}(B^2\Sigma_u^+)$ широкая, поэтому для кластеров размером $i \leq 50$ при $E_e \simeq 70$ эВ мы ожидали получить $\varphi_i(i) \sim i^{\alpha > 2/3}$, как это найдено для сечения ионизации [6]. Однако получилось $\varphi_i(i) \sim i^{0.6}$. Это означает, что вероятность безызлучательного гашения иона N_2^{+*} в кластере $N_2^{+*}(N_2)_i \rightarrow (N_2)_{i-k} + kN_2$ увеличивается с ростом i . Качественно это можно объяснить тем, что ионы N_2^{+*} , образовавшиеся внутри кластера, безызлучательно гасятся в столкновениях с молекулами кластера. Дальнейшее поведение зависимости $\varphi_i(i)$ с ростом i мы объясняем, как и в случае $C^3\Pi_u$, гашением при взаимодействии с вторичным электроном, захваченным кластером: $(N_2)_i + e \rightarrow N_2^{+*}(B^2\Sigma_u^+)(N_2)_{i-1}^- + e \rightarrow (N_2)_i^+ + 2e$. Возможность такого процесса подтверждается результатами измерения сечения образования отрицательных ионов $(N_2)_i^-$ при E_e больше порога ионизации молекулы N_2 [5].

Возникает вопрос [1]: какой вклад в величину $I_c^*(i)$ дают частицы N_2^* , N_2^{+*} , излучающие из кластеров, а какой — вылетевшие из кластеров? Согласно [7], эффективное сечение безызлучательного гашения $N_2^{+*}(B^2\Sigma_u^+)$ в столкновениях с $N_2(X'\Sigma_g^+)$, найденное из измерений интенсивности излучения в полосе (0–0), выше газокинетического и возрастает с понижением температуры газа от 100 до 5 К примерно на порядок. Это означает, что в кластерах, где время между столкновениями $\tau_c \sim 10^{-11} - 10^{-12}$ с, а их температура по нашим оценкам не превышает 20 К, должна происходить практически полная безызлучательная дезактивация ионов N_2^{+*} . Что касается $N_2^*(C^3\Pi_u)$, то уменьшение τ^* за счет столкновений, возможно, конкурирует с уменьшением времени бе-

зызлучательного гашения [4]. По крайней мере в [8] утверждается, что обнаруженный ими сдвиг линий в спектре излучения $N_2^*(C^3\Pi_u)$ в голубую область связан с излучением димеров $N_2^*(C^3\Pi_u)N_2(X'\Sigma_g^+)$. Неравновесная эжекция возбужденных частиц N_2^* ($v' > 0$) и N_2^{+*} ($v' > 0$) с поверхности кластера возможна даже при одноквантовой $v'-T$ релаксации, а если предположить, что при квазирезонансном обмене энергией возбуждения между частицами в кластере скорость этого процесса увеличивается, то эжектированные частицы могут быть основным источником излучения.

Вероятность эжекции ионов из кластеров (N_2), качественно можно оценить по зависимости тока n^+ ионов N_3^+ от i на рис. 2, измеренных масс-спектрометром при $E_e = 35$ и 80 эВ (сплошная линия). Эти зависимости представлены в сравнимых единицах и с учетом поправки на изменение сечения ионизации молекулы $\sigma_1^+(E_e)$. Порог появления $N_3^+(v')$ в кластированном пучке $E_e(N_3^+) \simeq 21$ эВ, при этом нижний предел энергии диссоциации оказался равен $E_d(N^+ - N_2) \simeq \simeq 3.4$ эВ [9], а верхний предел $E_d = 4.9$ эВ [10]. Источником ионов N_3^+ могут быть ионы N_2^{+*} в состоянии $B^2\Sigma_u^+$, $v' \geq 10$: $(N_2)_i + e \rightarrow N_2^{+*}(B^2\Sigma_u^+)(N_2)_{i-1} + 2e \rightarrow (N_2)_{i-2} + N_3^+ + N + 2e$, или после распада $B^2\Sigma_u^+$ в состояние $A^2\Pi_u$, $v' > 15$ или в состояние $X^2\Sigma_g^+$, $v' \geq 25$.

Эжектированные из кластеров молекулы и ионы, очевидно, имеют собственное распределение по энергии вращения, отличное от частиц, возбужденных в мономолекулярной компоненте пучка (струи). Поэтому во вращательной структуре спектра рассмотренных состояний N_2^* и N_2^{+*} следует ожидать неравновесное заселение верхних вращательных уровней.

Авторы благодарят Д.Ю.Дубова и И.В.Самойлова за помощь в работе.

Работа выполнена при поддержке Российского Фонда фундаментальных исследований (грант № 93-02-14608).

Список литературы

- [1] Востриков А.А., Гилеев В.П., Бубов Д.Ю. // ЖТФ. 1992. Т. 62. В. 1. С. 58-66.
- [2] Borst W.L., Imami M. // J. Appl. Phys. 1973. V. 44. N 3. P. 1133-1141.
- [3] Shaw M., Campos J. // J. Quant. Sectr. Radiat. Transf. 1983. V. 30. N 1. P. 73-76.
- [4] Calo J.M., Axtmann R.C. // J. Chem. Phys. 1971. V. 54. N 3. Pt 2. P. 1332-1341.
- [5] Востриков А.А., Самойлов И.В. // Письма в ЖТФ. 1992. Т. 18. В. 7. С. 58-62.
- [6] Bottiglioni F., Coutant J. // Phys. Rev. A. 1972. V. 6. N 5. P. 1830-1843.

- [7] Сухинин Г.И., Храмов Г.А., Шарафутдинов Р.Г. // ЖТФ. 1981. Т. 51. В. 8. С. 1762–1763.
- [8] Graham D.J., Hurst S.M. // J. Chem. Phys. 1993. V. 98. N 4. P. 2564–2567.
- [9] Stephan K., Maerk T.D. // J. Chem. Phys. 1984. V. 80. N 7. P. 3185–3188.
- [10] Archibald T.W., Sabin J.R. // J. Chem. Phys. 1971. V. 55. N 4. P. 1821–1829.

Институт теплофизики
Новосибирск

Поступило в Редакцию
13 марта 1994 г.
